

# Fe<sub>3</sub>O<sub>4</sub>@SiO<sub>2</sub>@YF<sub>3</sub>:Eu<sup>3+</sup>磁-光双功能复合粒子的制备与性能

彭红霞<sup>1</sup> 刘桂霞<sup>\*1</sup> 董相廷<sup>1</sup> 王进贤<sup>1</sup> 于文生<sup>1</sup> 孙德<sup>2</sup>

(<sup>1</sup>长春理工大学化学与环境工程学院,应用化学与纳米技术吉林省高校重点实验室,长春 130022)

(<sup>2</sup>长春工业大学化学工程学院,长春 130012)

**摘要:**采用水热法合成了Fe<sub>3</sub>O<sub>4</sub>@SiO<sub>2</sub>@YF<sub>3</sub>:Eu<sup>3+</sup>磁-光双功能复合粒子,对其结构和性能进行了表征。XRD分析表明:Fe<sub>3</sub>O<sub>4</sub>表面包覆上了结晶良好的正交晶系的YF<sub>3</sub>。TEM照片表明:复合粒子为球形,构成核的Fe<sub>3</sub>O<sub>4</sub>颗粒的尺寸在200~350 nm之间,Fe<sub>3</sub>O<sub>4</sub>@SiO<sub>2</sub>@YF<sub>3</sub>:Eu<sup>3+</sup>核壳结构复合粒子的尺寸约为230~380 nm,与包覆前的Fe<sub>3</sub>O<sub>4</sub>相比较,包覆后,颗粒尺寸增大,并且YF<sub>3</sub>:Eu<sup>3+</sup>是以棒状结构连接在Fe<sub>3</sub>O<sub>4</sub>球型颗粒的表面。磁性和荧光光谱分析表明:该复合颗粒同时具有良好的发光性和磁性,使其在生物医学领域具有潜在的应用。

**关键词:**水热法; Fe<sub>3</sub>O<sub>4</sub>; YF<sub>3</sub>:Eu<sup>3+</sup>; 磁光双功能

中图分类号: O611.4; O614.33 文献标识码: A 文章编号: 1001-4861(2012)07-1305-05

## Preparation and Properties of Fe<sub>3</sub>O<sub>4</sub>@SiO<sub>2</sub>@YF<sub>3</sub>:Eu<sup>3+</sup> Magnetic and Luminescent Bi-Functional Composite Particles

PENG Hong-Xia<sup>1</sup> LIU Gui-Xia<sup>\*1</sup> DONG Xiang-Ting<sup>1</sup> WANG Jin-Xian<sup>1</sup> YU Wen-Sheng<sup>1</sup> SUN De<sup>2</sup>

(<sup>1</sup>School of Chemistry and Environmental Engineering, Changchun University of Science and Technology, Key Laboratory of Applied Chemistry and Nanotechnology at Universities of Jilin Province, Changchun 130022, China)

(<sup>2</sup>School of Chemical Engineering, Changchun University of Technology, Changchun 130012, China)

**Abstract:** Fe<sub>3</sub>O<sub>4</sub>@SiO<sub>2</sub>@YF<sub>3</sub>:Eu<sup>3+</sup> magnetic and luminescent bi-functional composite particles were fabricated via a facile hydrothermal method, the structure and properties were characterized. XRD patterns show that orthogonal phase YF<sub>3</sub> crystals are coated on the surface of Fe<sub>3</sub>O<sub>4</sub> particles. TEM images indicate that the composites have spherical morphology, the diameter of the Fe<sub>3</sub>O<sub>4</sub> core is between 200~350 nm and the size of the Fe<sub>3</sub>O<sub>4</sub>@SiO<sub>2</sub>@YF<sub>3</sub>:Eu<sup>3+</sup> composites is about 230~380 nm. Compared with Fe<sub>3</sub>O<sub>4</sub> core, the size of the coated particles is larger. At the same time, it is noted that YF<sub>3</sub>:Eu<sup>3+</sup> nanorods are linked on the surface of Fe<sub>3</sub>O<sub>4</sub> particles. The photoluminescence spectra and the magnetic properties indicate that the composite particles have red emitting light and magnetism, which would be potentially applied in biology and medicine fields.

**Key words:** hydrothermal method; Fe<sub>3</sub>O<sub>4</sub>; YF<sub>3</sub>:Eu<sup>3+</sup>; magnetic and luminescent bi-function

磁性材料和发光材料由于在生物医学领域中潜在的应用,引起了科研工作者的广泛关注。磁性纳米颗粒已经应用于生物实体的磁分离、磁共振成像、靶向给药、造影剂(MRI)、诱导破坏恶性肿瘤细胞、生物传感器等<sup>[1-4]</sup>。发光纳米材料也被广泛应用

于生物标记、检测和成像技术等方面<sup>[5-8]</sup>。将磁性粒子和发光粒子复合,或通过合理的组装构成一个多功能或双功能的纳/微米粒子<sup>[9-12]</sup>,不只可以显示原始组分的属性,还表现出一些新的性能<sup>[13-16]</sup>。该复合粒子将对疾病诊断和治疗提供一个新的平台,使"

收稿日期:2011-11-11。收修改稿日期:2011-12-12。

国家自然科学基金(No.51072026,50972020)、吉林省科技发展计划基金(No.20090528)资助项目。

\*通讯联系人。E-mail:liuguixia22@yahoo.com.cn

发现-检测-治疗"成为一体<sup>[17-19]</sup>,在生物医学领域将具有广阔的应用前景。

目前磁性-发光复合纳/微米粒子的制备已有报道,如 Wang 等<sup>[20]</sup>用静电组装法制备了  $\text{Fe}_3\text{O}_4@\text{LaF}_3:\text{Ce}^{3+}, \text{Tb}^{3+}$  磁-光复合纳米粒子。Son 等<sup>[21]</sup>采用火焰喷雾分解法合成了  $\text{Fe}_3\text{O}_4@\text{Gd}_2\text{O}_3:\text{Eu}^{3+}$  磁-光双功能核壳结构纳米粒子。Liu 等<sup>[22]</sup>采用水热法合成了  $\text{Fe}_3\text{O}_4@\text{Gd}_2\text{O}_3:\text{Eu}^{3+}$  磁-光双功能核壳结构纳米粒子。但是,发光纳米粒子直接沉积到磁性核上会引起荧光猝灭,而导致发光强度减少。因此需要在磁性材料与发光材料之间增加隔层,避免荧光猝灭。 $\text{SiO}_2$  是一个很好的吸附剂和吸附剂载体,具有良好的生物相容性、亲水性以及非常好的稳定性。并且它在磁性核与发光壳之间具有屏蔽效应<sup>[22-23]</sup>。最近,Selvan 等<sup>[24]</sup>合成了  $\text{Fe}_3\text{O}_4@\text{SiO}_2@\text{QDs}$  核壳结构纳米复合材料。然而,QDs(通常都是重金属粒子如  $\text{Pb}^{2+}$  或  $\text{Cd}^{2+}$ )在紫外光照射下释放铅或镉,这在生物体内具有毒性。为解决这一问题,必须发展新的具有光稳定性和无毒或低毒性发光标记材料。稀土化合物是很好的发光标记材料,具有大的斯托克斯迁移、尖锐的发射谱、使用寿命长、低毒性等特点,从而在医学诊断和治疗方面具有潜在的应用<sup>[25-26]</sup>。其中  $\text{YF}_3$  是一种重要的稀土离子掺杂发光材料的良好的基质。它具有宽带隙( $>10 \text{ eV}$ ),因此三价稀土元素可以轻易代替  $\text{Y}^{3+}$ 。稀土  $\text{Y}^{3+}$  离子无  $4f$  电子具有密闭的壳层,属于光学惰性,适用于作基质材料<sup>[27]</sup>。而  $\text{Eu}^{3+}$  是一种有效的激活离子,它可被紫外光激发,在 500~700 nm 范围有能级跃迁产射红光<sup>[28-29]</sup>。因此本文采用水热法合成了  $\text{Fe}_3\text{O}_4@\text{SiO}_2@\text{YF}_3:\text{Eu}^{3+}$  磁-光双功能复合粒子,并对其结构和性能进行了表征。

## 1 实验部分

### 1.1 试剂与仪器

氧化钇、氧化铕(纯度:99.99%,上海跃龙有色金属有限公司),氟化氨(纯度:96.0%,天津市光复精细化工研究所),三氯化铁( $\text{FeCl}_3 \cdot 6\text{H}_2\text{O}$ )(纯度 $\geq 99.0\%$ ,北京朝阳区通惠化工厂),无水乙酸钠(纯度 $\geq 99.0\%$ ,北京益利精细化学品有限公司),聚乙二醇( $\text{PEG}, M_r = 2000$ ,分析纯,国药集团化学试剂有限公司),乙二醇(纯度:96.0%,北京化工厂)。

采用荷兰 PEI 公司的 PHILIPS XL30 ESEM FEG 环境扫描电镜(FESEM)和日本 JEOL 公司的 JEM-2010 型透射电镜(TEM)观察粒子的形貌和尺

寸。用德国 Bruker D8FOCUS 多晶粉末 X-射线衍射(XRD)仪进行晶体结构分析,其 X-射线源为  $\text{Cu K}\alpha_1, \lambda = 0.154056 \text{ nm}$ ,衍射角为  $10^\circ \sim 80^\circ$ ,步长为  $10^\circ \cdot \text{min}^{-1}$ ,扫描速率为  $0.1^\circ \cdot \text{s}^{-1}$ 。采用日本 HITACHI 公司的 F-7000 型荧光光谱仪对样品的发光性能进行测试,测量范围为 200~800 nm,扫描速率为  $1200 \text{ nm} \cdot \text{min}^{-1}$ ,步长为  $0.2 \text{ nm}$ ,采用 Xe 灯作为激发源。采用日本岛津公司 8400S 型傅立叶变换红外光谱仪进行样品的红外光谱分析,采用 KBr 压片法,波数范围  $4000 \sim 400 \text{ cm}^{-1}$ 。样品的磁性采用美国 Quantum Design 公司的 MPMS 磁学测量系统(MPMS SQUID XL)进行测定。

### 1.2 样品的制备

#### 1.2.1 合成路线

用溶剂热法制备  $\text{Fe}_3\text{O}_4$  颗粒作为磁性核,采用 Stober 法合成了分散性好、粒径可控、生物相容的  $\text{Fe}_3\text{O}_4@\text{SiO}_2$  复合粒子,由于其表面的 Si-OH 基团,可以与其他物质形成共价键,因而有助于合成核壳结构双功能复合粒子。合成过程如图 1 所示。借助  $\text{Fe}_3\text{O}_4$  表面的 Si-OH 基团,将发光材料  $\text{YF}_3:\text{Eu}^{3+}$  沉积到磁性纳米颗粒的表面,合成出  $\text{Fe}_3\text{O}_4@\text{SiO}_2@\text{YF}_3:\text{Eu}^{3+}$  磁-光双功能复合粒子。

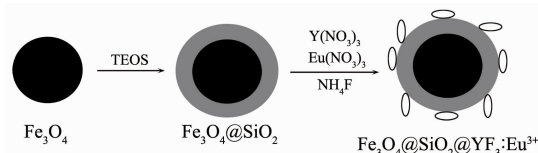


图 1  $\text{Fe}_3\text{O}_4@\text{SiO}_2@\text{YF}_3:\text{Eu}^{3+}$  复合粒子的合成路线

Fig.1 Synthetic route of  $\text{Fe}_3\text{O}_4@\text{SiO}_2@\text{YF}_3:\text{Eu}^{3+}$  composite particles

#### 1.2.2 制备过程

磁性  $\text{Fe}_3\text{O}_4$  核粒子的制备:2.2 g 聚乙二醇、7.2 g 无水醋酸钠和 4.1 g 六水合三氯化铁分散于 80 mL 乙二醇中,在室温条件下搅拌 30 min,然后将所得胶体溶液移入 50 mL 带聚四氟乙烯内衬的反应釜中,在 180 ℃恒温反应 8 h。室温下自然冷却,将釜内黑色沉淀用去离子水和乙醇各洗涤 3 次,然后磁分离收集。所得黑色沉淀在 50 ℃下干燥 5~10 h,得到  $\text{Fe}_3\text{O}_4$  核粒子。

$\text{Fe}_3\text{O}_4@\text{SiO}_2$  复合粒子的制备:称取 0.05 g 制备好的  $\text{Fe}_3\text{O}_4$  核粒子分散于 80 mL 乙醇、20 mL  $\text{H}_2\text{O}$  和 1.0 mL 氨水配成的混合溶液中,磁力搅拌下滴入 0.2 mL TEOS,室温下搅拌 6 h。然后用水和乙醇洗涤数次,所得灰色固体在 50 ℃下干燥 5~10 h,得

到 Fe<sub>3</sub>O<sub>4</sub>@SiO<sub>2</sub> 复合粒子。

Fe<sub>3</sub>O<sub>4</sub>@SiO<sub>2</sub>@YF<sub>3</sub>;Eu<sup>3+</sup>磁-光双功能复合粒子的制备:首先分别取一定量的氧化钇和氧化铕,配成0.2 mol·L<sup>-1</sup>的稀土硝酸盐溶液,备用。将0.1 g制备好的Fe<sub>3</sub>O<sub>4</sub>@SiO<sub>2</sub>颗粒分散于12.2 mL Y(NO<sub>3</sub>)<sub>3</sub>,0.61 mL Eu(NO<sub>3</sub>)<sub>3</sub>(n<sub>Eu</sub>/n<sub>Y</sub>=0.05)溶液和32 mL去离子水中,边搅拌边滴入12.83 mL NH<sub>4</sub>F(0.6 mol·L<sup>-1</sup>)溶液,75 ℃下继续搅拌0.5 h,然后将溶液转移到50 mL带聚四氟乙烯内衬的反应釜中,在160 ℃下反应12 h。自然冷却至室温,釜内灰色沉淀用去离子水和乙醇洗涤数次,在60 ℃下干燥6 h,得到灰色产物。

## 2 结果与讨论

### 2.1 X射线衍射(XRD)分析

为了研究磁性Fe<sub>3</sub>O<sub>4</sub>核和包覆后Fe<sub>3</sub>O<sub>4</sub>@SiO<sub>2</sub>@YF<sub>3</sub>;Eu<sup>3+</sup>复合粒子的结构和相组成,进行了XRD测试,如图2所示。由图2a可见,所有衍射峰的位置和相对强度与尖晶石型Fe<sub>3</sub>O<sub>4</sub>(PDF No.19-0629)标准谱非常吻合,并没有出现任何杂峰,表明所合成的样品为尖晶石型Fe<sub>3</sub>O<sub>4</sub>,晶胞参数为a=b=c=0.8394 nm。由图2b可以清晰地看出复合物中的强的正交晶系的YF<sub>3</sub>的衍射峰,与标准卡片(PDF No.70-1935)相对应,还可以看到部分弱的Fe<sub>3</sub>O<sub>4</sub>晶体的(311)、(440)晶面的衍射峰。Fe<sub>3</sub>O<sub>4</sub>衍射峰相对弱可能因为Fe<sub>3</sub>O<sub>4</sub>的表面有SiO<sub>2</sub>和YF<sub>3</sub>;Eu<sup>3+</sup>的包覆所致。

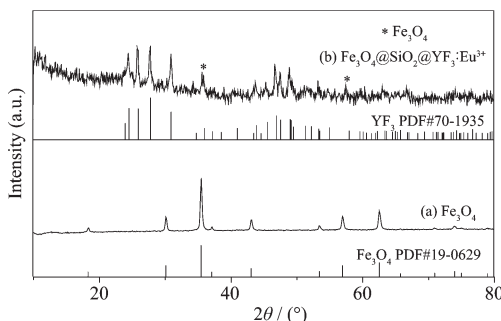


图2 样品的XRD图

Fig.2 XRD patterns of the samples

### 2.2 红外光谱(FTIR)分析

图3给出了Fe<sub>3</sub>O<sub>4</sub>核、Fe<sub>3</sub>O<sub>4</sub>@SiO<sub>2</sub>、Fe<sub>3</sub>O<sub>4</sub>@SiO<sub>2</sub>@YF<sub>3</sub>;Eu<sup>3+</sup>和YF<sub>3</sub>;Eu<sup>3+</sup>粒子的红外光谱图。由图可见,在Fe<sub>3</sub>O<sub>4</sub>核粒子的谱图中,在589 cm<sup>-1</sup>处出现了Fe-O的振动峰<sup>[30]</sup>,没有出现其他杂峰。在Fe<sub>3</sub>O<sub>4</sub>@SiO<sub>2</sub>复合粒子的谱图中,除了587 cm<sup>-1</sup>处出现了Fe-O的振动峰外,在3429和1635 cm<sup>-1</sup>附近

出现了-OH和H<sub>2</sub>O的振动峰;在1100,797 cm<sup>-1</sup>附近出现了Si-O-Si的反对称与对称伸缩振动峰;950 cm<sup>-1</sup>附近出现了Si-OH的对称伸缩振动峰<sup>[31-33]</sup>,说明Fe<sub>3</sub>O<sub>4</sub>@SiO<sub>2</sub>复合粒子表面有大量的-OH和H<sub>2</sub>O的存在,有助于与金属离子发生键合作用。Fe<sub>3</sub>O<sub>4</sub>@SiO<sub>2</sub>@YF<sub>3</sub>;Eu<sup>3+</sup>复合粒子的谱图与Fe<sub>3</sub>O<sub>4</sub>@SiO<sub>2</sub>复合粒子的谱图没有明显的差别。只是位于950 cm<sup>-1</sup>附近的Si-OH的吸收峰和位于797 cm<sup>-1</sup>附近的Si-O-Si的吸收峰有所减弱,可能是Si-OH和Y<sup>3+</sup>连接,形成了Si-O-Y键所致,因为YF<sub>3</sub>;Eu<sup>3+</sup>的吸收峰在400 cm<sup>-1</sup>以下,所以未能检测出来<sup>[34-35]</sup>,未见明显的吸收峰出现。

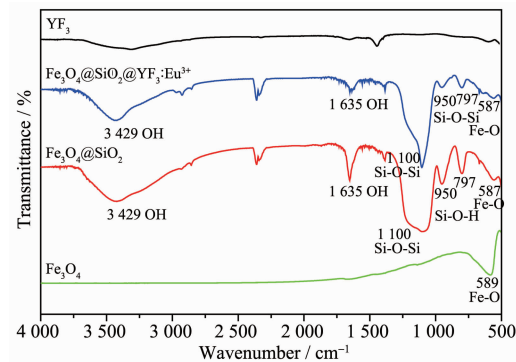


图3 样品的FTIR图

Fig.3 FTIR spectra of the samples

### 2.3 电镜分析

为了更清晰的观察包覆层的厚度以及复合颗粒的形貌、尺寸,对其进行了电镜分析,如图4所

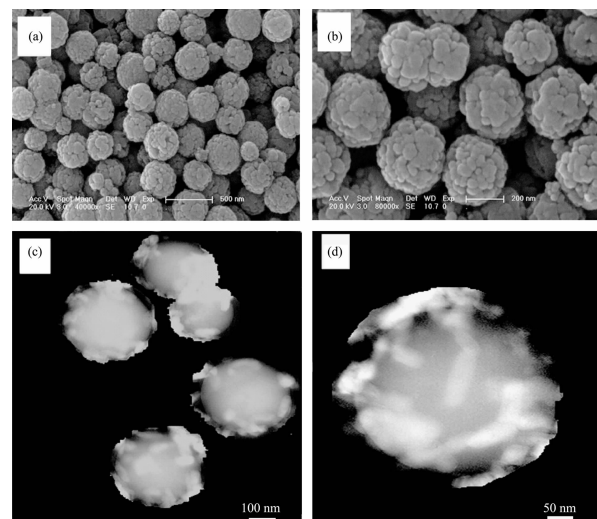


图4 样品的电镜照片(a, b)Fe<sub>3</sub>O<sub>4</sub>的FESEM照片;

(c, d)Fe<sub>3</sub>O<sub>4</sub>@SiO<sub>2</sub>@YF<sub>3</sub>;Eu<sup>3+</sup>的TEM照片

Fig.4 Electron microscope images of the samples (a, b) FESEM images of Fe<sub>3</sub>O<sub>4</sub>; (c, d) TEM images of Fe<sub>3</sub>O<sub>4</sub>@SiO<sub>2</sub>@YF<sub>3</sub>;Eu<sup>3+</sup>

示。由图4a,b的FESEM照片可见,Fe<sub>3</sub>O<sub>4</sub>颗粒为均匀的球形,粒径分布较均匀,表面粗糙,分散性较好,粒径在200~350 nm左右。由图4c,d的TEM照片能够清晰地看出Fe<sub>3</sub>O<sub>4</sub>@SiO<sub>2</sub>@YF<sub>3</sub>:Eu<sup>3+</sup>复合颗粒仍为分散性良好的球形结构。复合颗粒的尺寸约为230~380 nm,与包覆前的Fe<sub>3</sub>O<sub>4</sub>相比较,包覆后,颗粒尺寸增大,SiO<sub>2</sub>和YF<sub>3</sub>:Eu<sup>3+</sup>包覆层的厚度为约30 nm。因为复合颗粒尺寸较大,使电子束不能完全穿透样品,所以不能清楚的看到SiO<sub>2</sub>和YF<sub>3</sub>:Eu<sup>3+</sup>包覆层,但是能看到包覆SiO<sub>2</sub>后颗粒表面光滑,并且球形颗粒的表面可以清晰的看到棒状结构,认为YF<sub>3</sub>:Eu<sup>3+</sup>是以棒状结构生长在Fe<sub>3</sub>O<sub>4</sub>@SiO<sub>2</sub>球型颗粒的表面,棒状YF<sub>3</sub>:Eu<sup>3+</sup>的直径约20 nm,长度约50 nm。

#### 2.4 荧光光谱分析

YF<sub>3</sub>:Eu<sup>3+</sup>,Fe<sub>3</sub>O<sub>4</sub>@SiO<sub>2</sub>@YF<sub>3</sub>:Eu<sup>3+</sup>和Fe<sub>3</sub>O<sub>4</sub>@YF<sub>3</sub>:Eu<sup>3+</sup>复合粒子的激发光谱和发射光谱如图5所示,由激发光谱(A)可见,监测波长为595 nm,在300~500 nm范围内的激发峰是Eu<sup>3+</sup>的4f电子从基态向

不同激发态的跃迁。位于395 nm处的最强激发峰对应的是Eu<sup>3+</sup>的<sup>7</sup>F<sub>0</sub>→<sup>5</sup>L<sub>6</sub>能级跃迁。由发射光谱图(B)可见,复合粒子的发射光谱包括Eu<sup>3+</sup>的<sup>5</sup>D<sub>0</sub>→<sup>7</sup>F<sub>j</sub>(j=1,2,3,4)跃迁,最强峰位于595 nm处,为Eu<sup>3+</sup>的<sup>5</sup>D<sub>0</sub>→<sup>7</sup>F<sub>1</sub>磁偶极跃迁。616和622 nm处的发射峰为Eu<sup>3+</sup>的<sup>5</sup>D<sub>0</sub>→<sup>7</sup>F<sub>2</sub>跃迁发射。同时从谱图中可以看出,Fe<sub>3</sub>O<sub>4</sub>@SiO<sub>2</sub>@YF<sub>3</sub>:Eu<sup>3+</sup>复合颗粒发射峰强度比Fe<sub>3</sub>O<sub>4</sub>@YF<sub>3</sub>:Eu<sup>3+</sup>颗粒发射峰强度强,二者的荧光强度均比纯的YF<sub>3</sub>:Eu<sup>3+</sup>的弱,说明包覆在Fe<sub>3</sub>O<sub>4</sub>表面的发光材料YF<sub>3</sub>:Eu<sup>3+</sup>的荧光强度减弱,是因为Fe<sub>3</sub>O<sub>4</sub>与YF<sub>3</sub>:Eu<sup>3+</sup>直接接触时,Fe<sub>3</sub>O<sub>4</sub>使激发态的荧光分子失去能量使其荧光强度降低而引起,即Fe<sub>3</sub>O<sub>4</sub>起到了荧光猝灭的作用,但是可以通过中间的隔层来适当减少Fe<sub>3</sub>O<sub>4</sub>对YF<sub>3</sub>:Eu<sup>3+</sup>的荧光猝灭,SiO<sub>2</sub>在磁性核与发光壳之间具有屏蔽效应。尽管Fe<sub>3</sub>O<sub>4</sub>@SiO<sub>2</sub>@YF<sub>3</sub>:Eu<sup>3+</sup>磁-光双功能复合粒子的发射强度有所减弱,但在生物医学应用中仍具有足够的荧光强度。

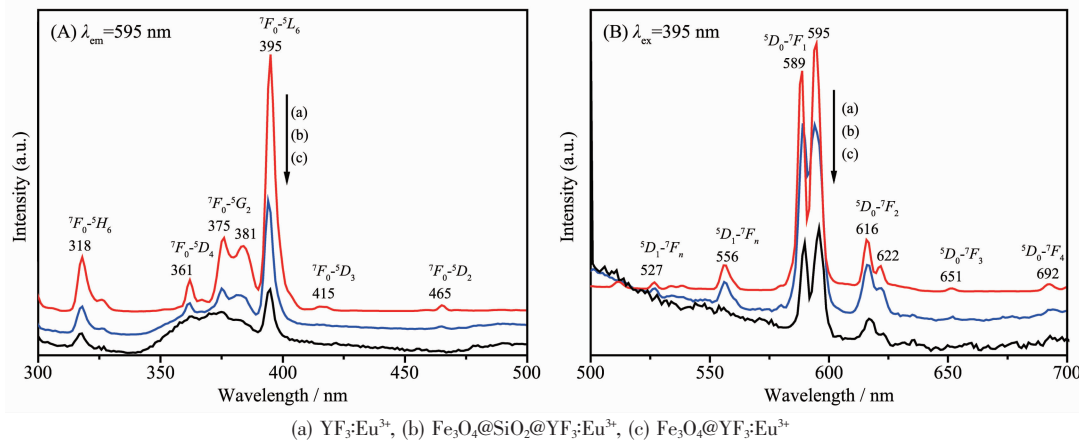


图5 样品的激发光谱(A)和发射光谱(B)  
Fig.5 Excitation (A) and emission (B) spectra of the samples

#### 2.5 磁学性质分析

图6分别给出了Fe<sub>3</sub>O<sub>4</sub>核粒子(a),Fe<sub>3</sub>O<sub>4</sub>@SiO<sub>2</sub>粒子(b),Fe<sub>3</sub>O<sub>4</sub>@YF<sub>3</sub>:Eu<sup>3+</sup>(c)和Fe<sub>3</sub>O<sub>4</sub>@SiO<sub>2</sub>@YF<sub>3</sub>:Eu<sup>3+</sup>复合粒子(d)的磁滞回线图,最大外加磁场为10 kOe,温度为常温。由图可以看出4个样品具有相似的磁性质。4种样品的饱和磁化强度分别为84.06、35.50、11.18和5.890 emu·g<sup>-1</sup>。包覆后磁饱和强度明显降低,可能是因为在Fe<sub>3</sub>O<sub>4</sub>@SiO<sub>2</sub>,Fe<sub>3</sub>O<sub>4</sub>@YF<sub>3</sub>:Eu<sup>3+</sup>,Fe<sub>3</sub>O<sub>4</sub>@SiO<sub>2</sub>@YF<sub>3</sub>:Eu<sup>3+</sup>复合粒子中,引入了非磁性物质,使磁性Fe<sub>3</sub>O<sub>4</sub>的质量分数改变很多,从而导致磁性降低,随着引入的非磁性物质的增多,磁性降低越多。尽管Fe<sub>3</sub>O<sub>4</sub>@SiO<sub>2</sub>@YF<sub>3</sub>:Eu<sup>3+</sup>磁光双功能复合粒

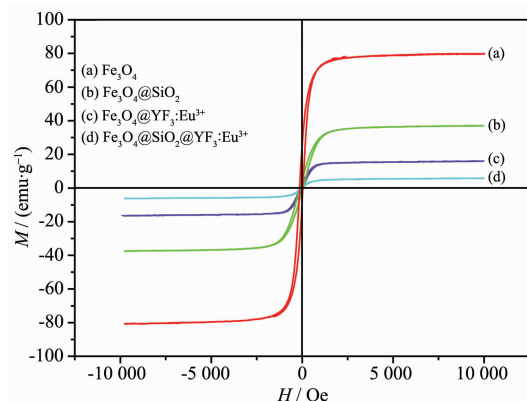


图6 样品的磁滞回线  
Fig.6 Measured magnetic hysteresis loops of the samples

子的饱和磁化强度比 Fe<sub>3</sub>O<sub>4</sub> 磁核小很多,但在磁分离等领域仍具有足够的饱和磁化强度。

### 3 结 论

采用一种简单方便的水热法合成了 Fe<sub>3</sub>O<sub>4</sub>@SiO<sub>2</sub>@YF<sub>3</sub>;Eu<sup>3+</sup>核壳结构复合粒子。所得的复合粒子为分散性良好的球形结构,包覆层厚度约为 30 nm,包覆 SiO<sub>2</sub> 层后表面光滑,并且 YF<sub>3</sub>;Eu<sup>3+</sup>是以棒状结构连接在 Fe<sub>3</sub>O<sub>4</sub>@SiO<sub>2</sub> 球型颗粒的表面。该复合颗粒同时具有良好的发光性和较强的磁性,其在生物医学领域将具有潜在的应用。

### 参考文献:

- [1] LU Ping(路萍), ZHANG Ji-Lin(张吉林), SUN De-Hui (孙德慧), et al. *Chinese J. Inorg. Chem. (Wuji Huaxue Xuebao)*, **2010**,**26**:1177-1180
- [2] Zhu C L, Zhang M L, Qiao Y J, et al. *J. Phys. Chem. C*, **2010**, **114**:16229-16235
- [3] Zhang Y X, Pan S S, Teng X M, et al. *J. Phys. Chem. C*, **2008**, **112**:9623-9626
- [4] CHEN You-Chun(陈友存), ZHANG Kai(张凯), ZHAO Ying-Guo (赵英国). *Chinese J. Inorg. Chem. (Wuji Huaxue Xuebao)*, **2009**,**25**:2003-2006
- [5] LAI Hua-Sheng(赖华生), CHEN Bao-Jiu(陈宝玖), XU Wu (许武). *J Rare Earth (Zhongguo Xitu Xuebao)*, **2005**,**23**(1): 32-35
- [6] Gai S L, Yang P P, Hao J G, et al. *Microporous Mesoporous Mater.*, **2010**,**131**:128-135
- [7] Wang H, Yang J, Zhang C M, et al. *J. Solid State Chem.*, **2009**,**182**:2716-2724
- [8] Wang G F, Wei P, Wang L L, et al. *J. Rare Earths*, **2009**, **27**(2):330-333
- [9] Gai S L, Yang P P, Li C X, et al. *Adv. Funct. Mater.*, **2010**, **20**:1166-1172
- [10] Chiu W, Khiew P, Cloke M, et al. *J. Phys. Chem. C*, **2010**, **114**:8212-8218
- [11] Wan J Q, Li H, Chen K Z, et al. *Mater. Chem. Phys.*, **2009**, **114**:30-32
- [12] Wang J Z, Loh K P, Zhong Y L, et al. *Chem. Mater.*, **2007**, **19**:2566-2572
- [13] Lu H C, Yi G S, Zhao S Y, et al. *J. Mater. Chem.*, **2004**,**14**: 1336-1341
- [14] Gai S L, Yang P P, Li C X, et al. *Adv. Funct. Mater.*, **2010**, **20**:1166-1172
- [15] Yan B, Lu H F. *J. Photochem. Photobiol., A: Chemistry*, **2009**,**205**:122-128
- [16] Zhang L H, Liu B F, Dong S J, et al. *J. Phys. Chem. B*, **2007**,**111**:10448-10452
- [17] Wang H, Yang J, Zhang C M, et al. *J. Solid State Chem.*, **2009**,**182**:2716-2724
- [18] LIU Gui-Xia(刘桂霞), HONG Gang-Yan(洪广言), SUN Xian-Duo(孙多先). *Chinese J. Inorg. Chem. (Wuji Huaxue Xuebao)*, **2004**,**20**:1367-1370
- [19] Fan H M, Olivo M, Shuter B, et al. *J. Am. Chem. Soc.*, **2010**,**132**(42):14803-14811
- [20] Wang L Y, Yang Z H, Zhang Y, et al. *J. Phys. Chem. C*, **2009**,**113**:3955-3959
- [21] Son A, Dosev D, Nichkova M, et al. *Anal. Biochem.*, **2007**, **370**:186-194
- [22] LIU Gui-Xia(刘桂霞), PENG Hong-Xia(彭红霞), FAN Shui-Gao(范水高). *Acta Chim. Sin. (Huaxue Xuebao)*, **2011**,**69**: 1081-1086
- [23] Deng Y H, Qi D W, Deng C H, et al. *J. Am. Chem. Soc.*, **2008**,**130**:28-29
- [24] Sun Z W, Liu D M, Tong L Z, et al. *Solid State Sci.*, **2011**, **132**:361-365
- [25] Ma Z Y, Dosev D, Nichkova M, et al. *J. Mater. Chem.*, **2009**,**19**:4695-4700
- [26] Yang P P, Quan Z W, Hou Z Y, et al. *Biomaterials*, **2009**, **30**:4786-4795
- [27] Darbandi M, Nann T. *Chem. Commun.*, **2006**:776-778
- [28] Lai Y C, Yin W W, Liu J T, et al. *Nanoscale Res. Lett.*, **2010**,**5**:302-307
- [29] Lartigue, Oumzil K, Guari Y, et al. *Org. Lett.*, **2009**,**11**:14-17
- [30] Deng H, Li X L, Peng Q, et al. *Angew. Chem. Int. Ed.*, **2005**,**44**:2782-2785
- [31] Hu B, Pan J, Yu H L, et al. *Biochemistry*, **2009**,**44**:1019-1024
- [32] Lu P, Zhang J L, Liu Y L, et al. *Talanta*, **2010**,**822**:450-457
- [33] Zhang Y, Gong S W Y, Jin L, et al. *Chin. Chem. Lett.*, **2009**,**20**:969-972
- [34] Darbandi M, Nann T. *Chem. Commun.*, **2006**:776-778
- [35] Rahman P, Green M. *Nanoscale*, **2009**,**1**:214-224